Исследование межгодовой, сезонной и пространственной изменчивости интенсивности цветения фитопланктона в Рыбинском водохранилище на основе спутниковых данных

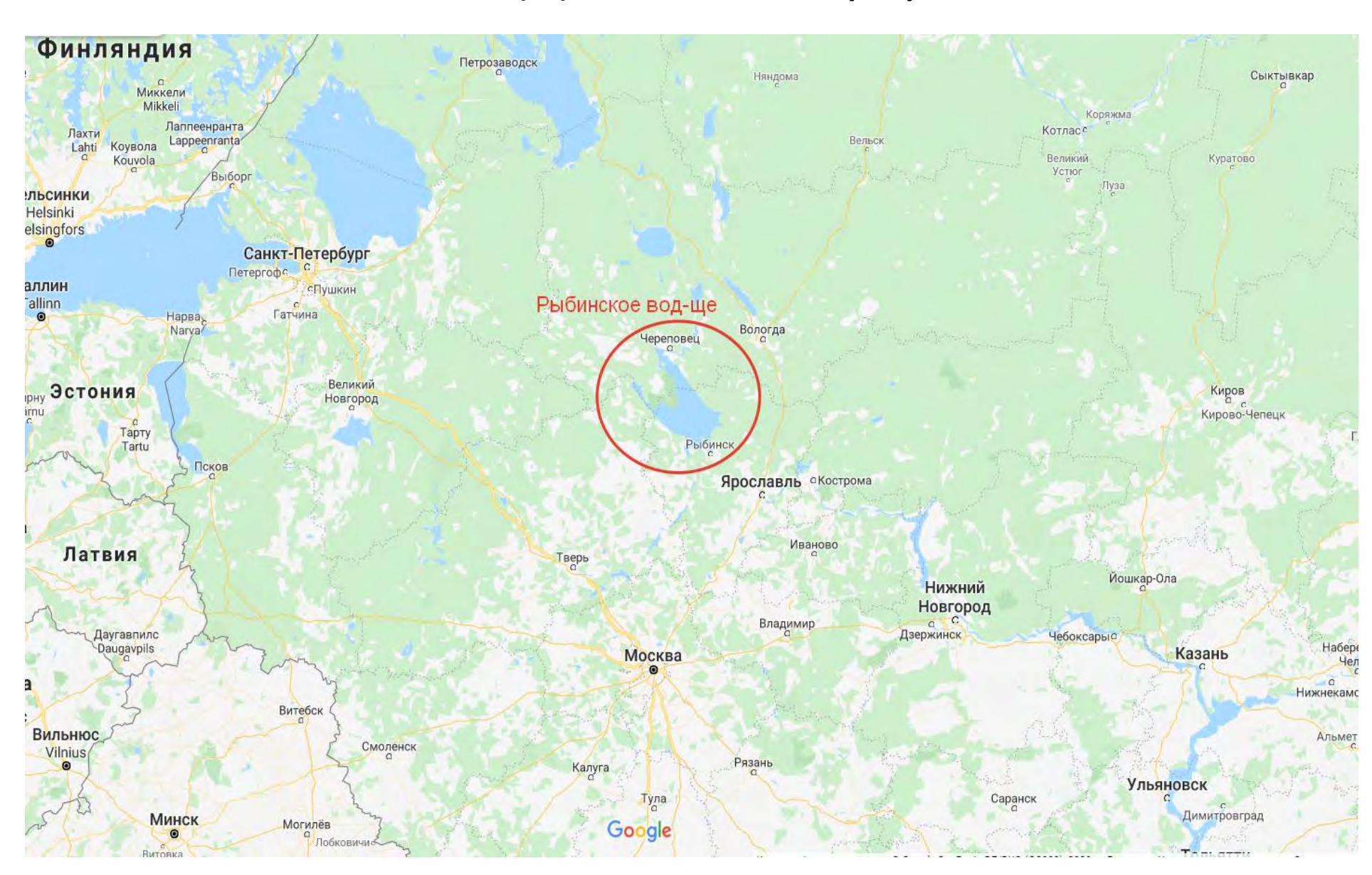
Аглова Е.А.

Московский физико-технический институт (национальный исследовательский университет) Институт космических исследований РАН

Научный руководитель к.ф.-м.н., доцент Лаврова О.Ю. Институт космических исследований РАН

Район исследования (1)

Рыбинское водохранилище находится на территории Ярославской и Вологодской областях на реке Волга



Район исследования (2)

• Площадь: 4580 км²

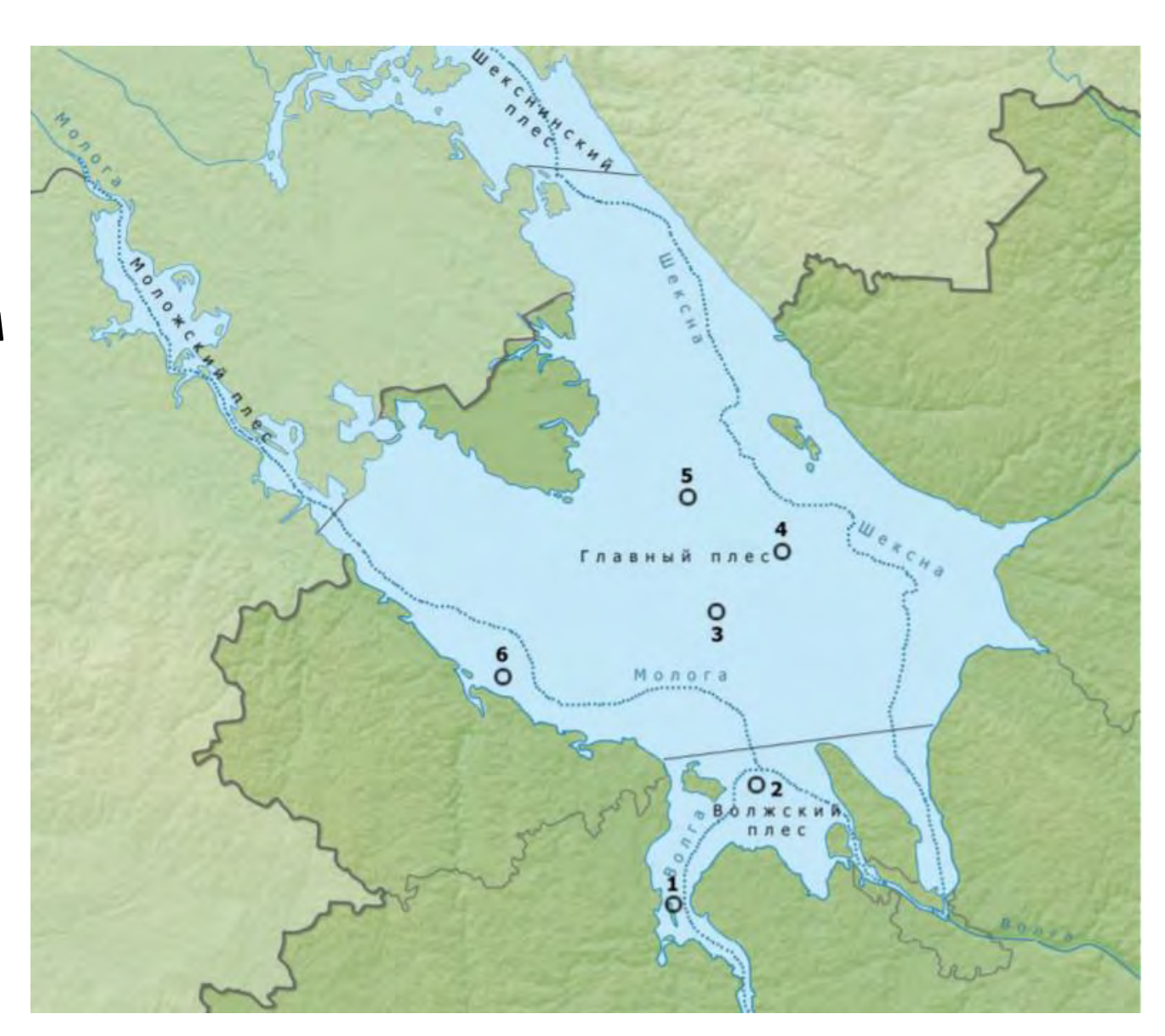
• Размеры: 172 × 56 км

• Объем: 25,4 км³

• Максимальная глубина: 30 м

• Береговая линия: 1724 км

• Города (заводы) на берегу: Череповец (Череповецкий металлургический комбинат), Рыбинск (Рыбинский завод приборостроения)



Мотивация исследования:

- 1. На Волге и Волжских водохранилищах ежегодно наблюдается повышенная интенсивность цветения фитопланктона
- 2. Выбрано Рыбинское водохранилище в связи с тем, что его размеры позволяют использовать спутниковые данные
- 3. На берегу Рыбинского водохранилища находится Институт биологии внутренних вод РАН им. И.Д. Папанина, проводящий измерения качественного и количественного состава воды

Цель исследования:

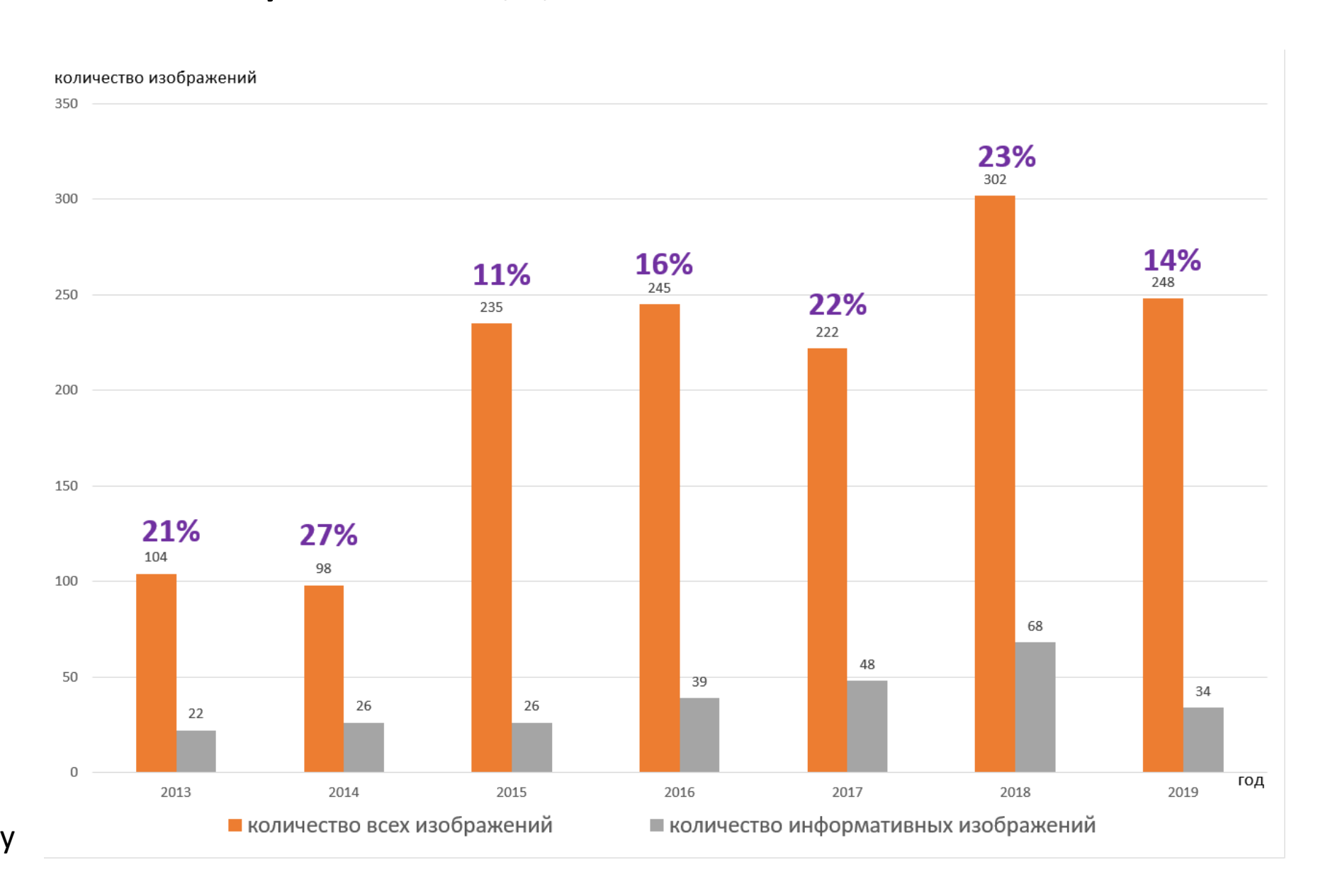
- 1. Определить зависимость интенсивности цветения от времени года, сезона и внешних факторов (температура, освещенность, осадки)
- 2. Сравнить с имеющимися результатами, полученными ранее

Используемые данные

Анализ изображений за 2013-2019гг. в видимом диапазоне, полученных на основе данных MSI Sentinel-2 и OLI Landsat 8

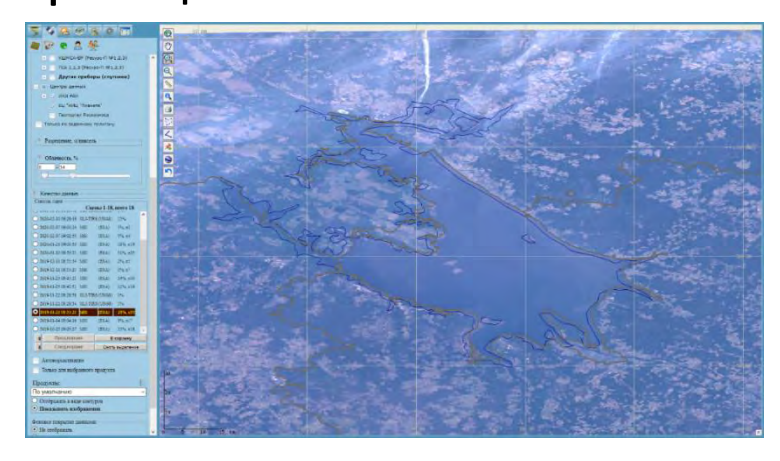
Всего было проанализировано 1454 изображения

Процентное соотношение количества информативных изображений к общему числу



Используемые информационные системы

Поиск, просмотр и обработка изображений проводились с использованием следующих информационных систем:



See The Sea (ИКИ РАН)

http://ocean.smislab.ru/static

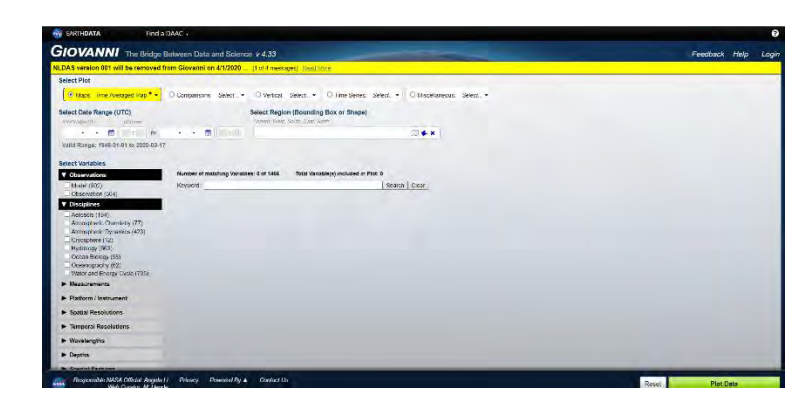
Используемые инструменты:

- 1. Цветокоррекция
- 2. Классификация
- 3. Построение карт Floating algae index (FAI)
- 4. Построение графиков спектральной отражательной способности



Worldview (NASA)

worldview.earthdata.nasa.gov



Giovanni (NASA)

https://giovanni.gsfc.nasa.gov/giovanni

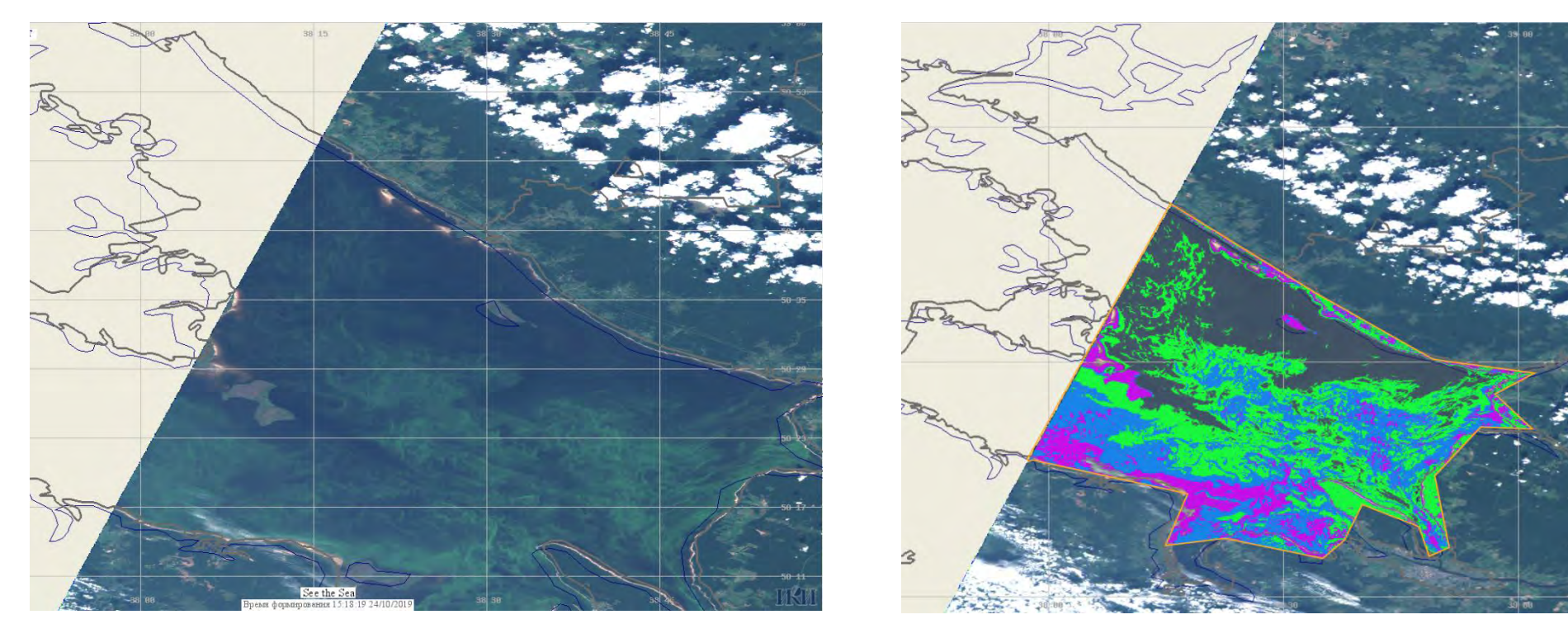


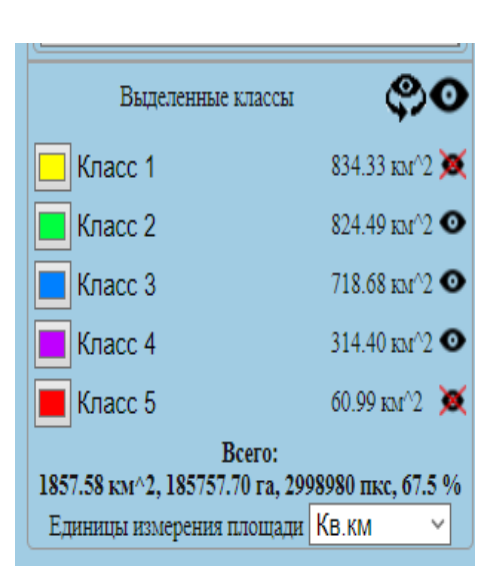
MarineTraffic

https://www.marinetraffic.com

Подсчет площади цветения

С помощью инструмента классификации в информационной системе See The Sea

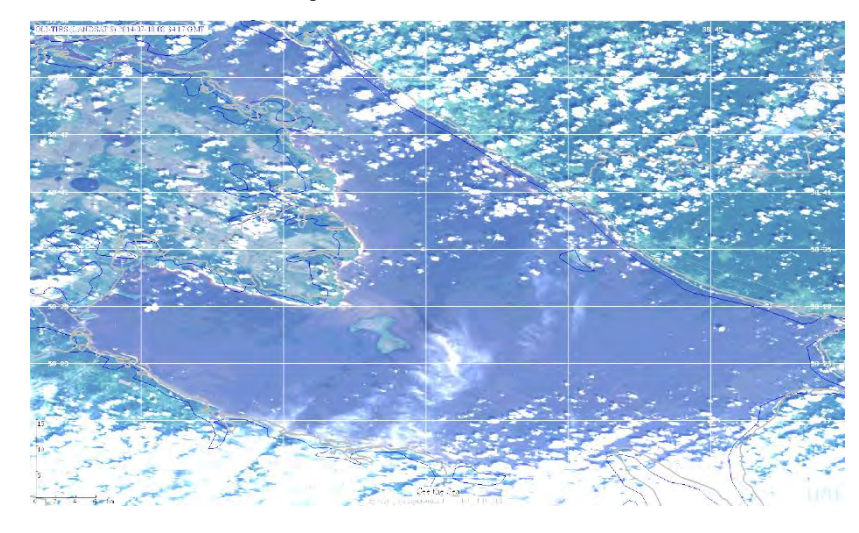




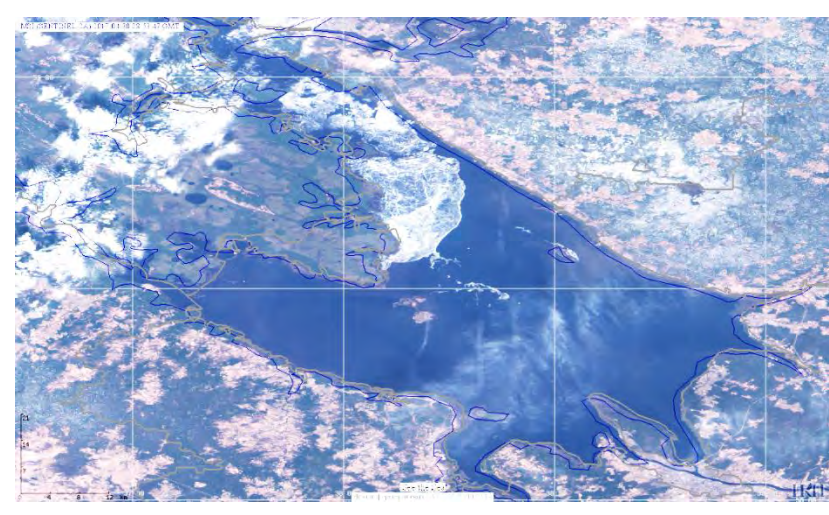
26.08.2015 MSI SENTINEL - 2A

• площадь цветения фитопланктона на 26.08.2015 - 1858 км²

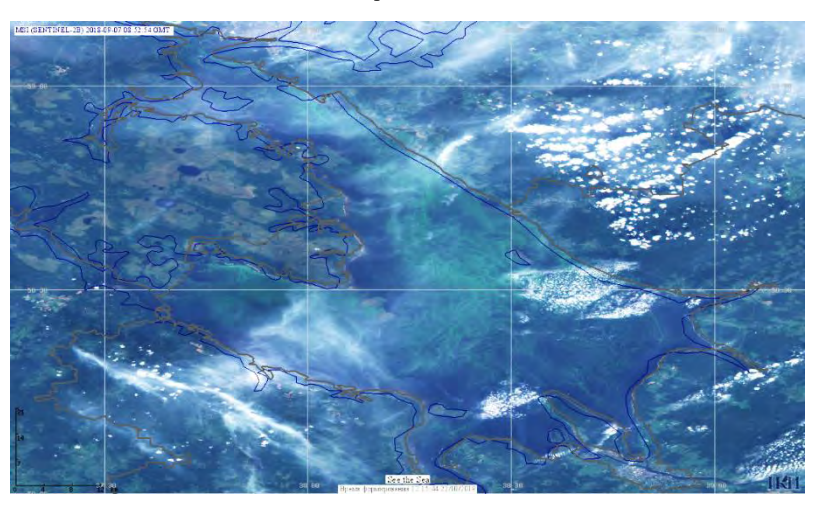
Проявление цветения на спутниковых изображениях Рыбинского водохранилища



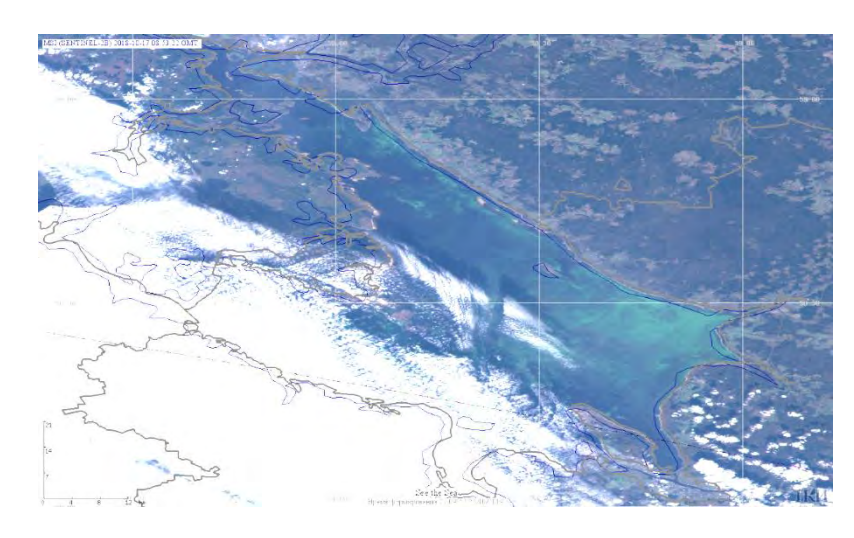
10.07.2014 OLI LANDSAT 8



30.04.2017 MSI SENTINEL-2A



07.09.2018 MSI SENTINEL-2B



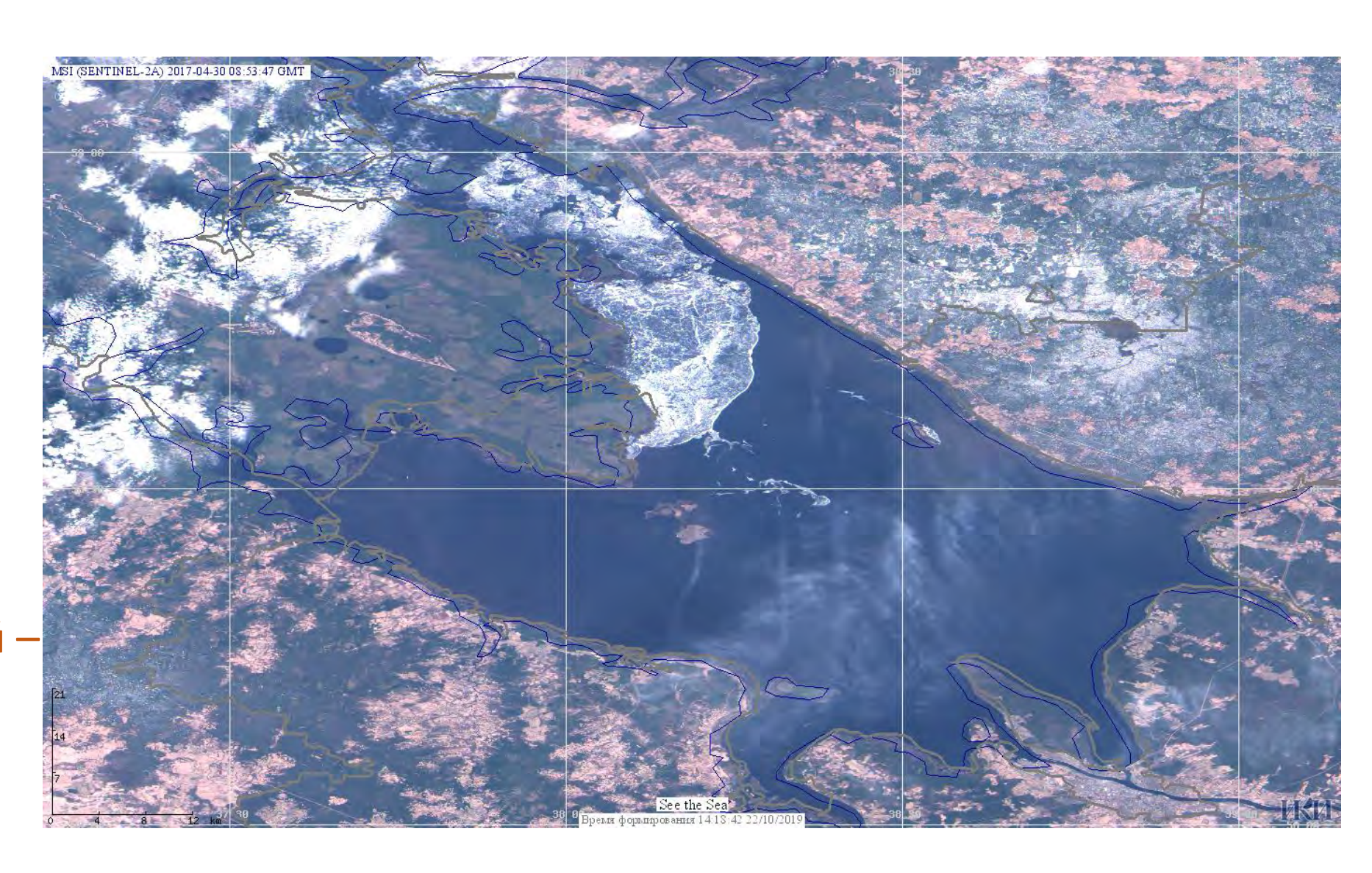
17.10.2018 MSI SENTINEL-2B

Результаты: сезонная изменчивость (1)

- 30.04.2017
- MSI SENTINEL 2A
- Диатомовые водоросли
- Площадь: 1027.23 км²
- Слабая интенсивность
- Главный, Моложский и Волжские плёсы

Вывод:

Начало цветения диатомовых водорослей – конец апреля - май

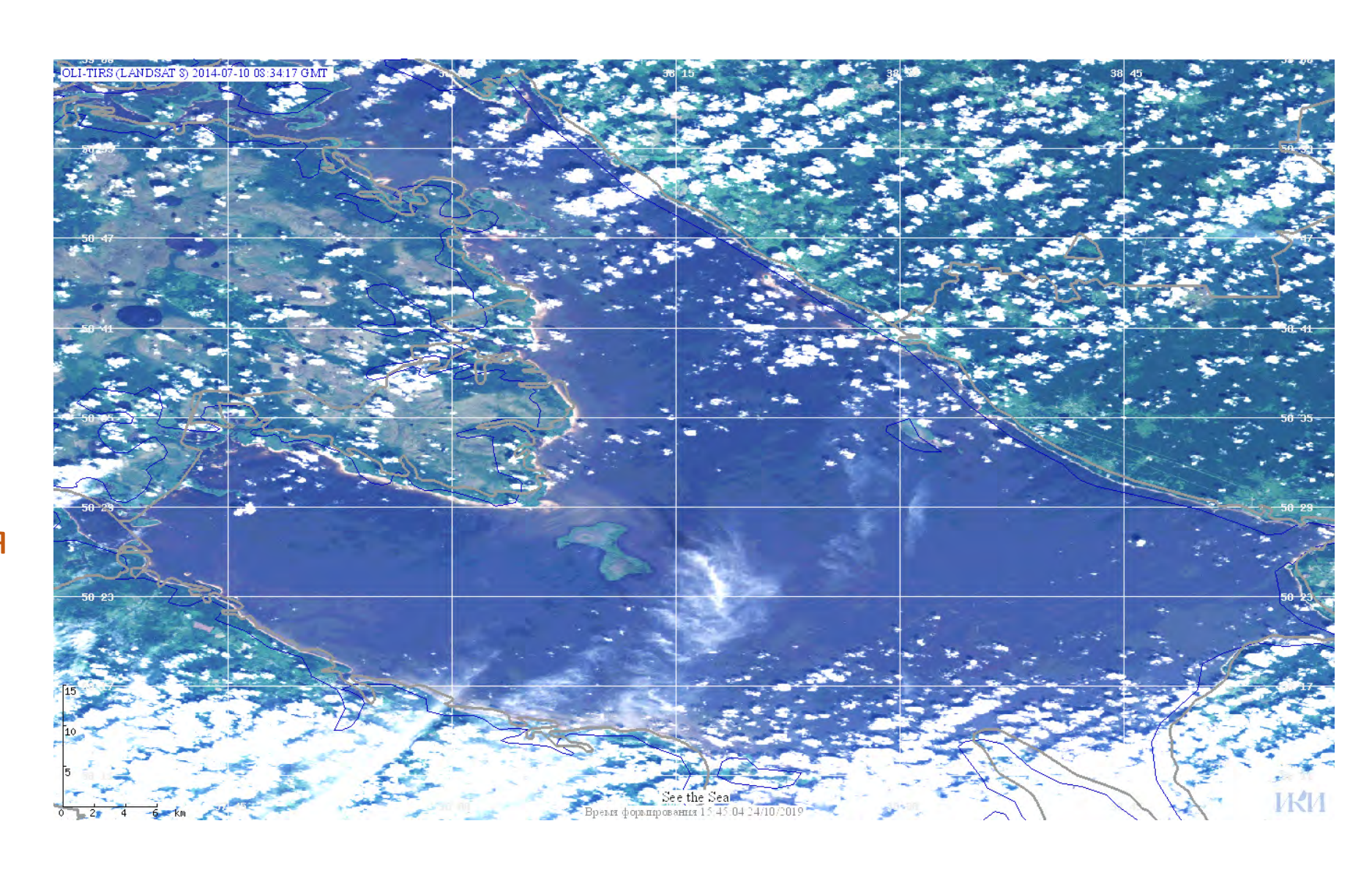


Результаты: сезонная изменчивость (2)

- 10.07.2014
- OLI LANDSAT 8
- Диатомовые водоросли
- Площадь: 2000 км²
- Средней интенсивности
- Главный, Шекснинский и Моложский плёсы

Вывод:

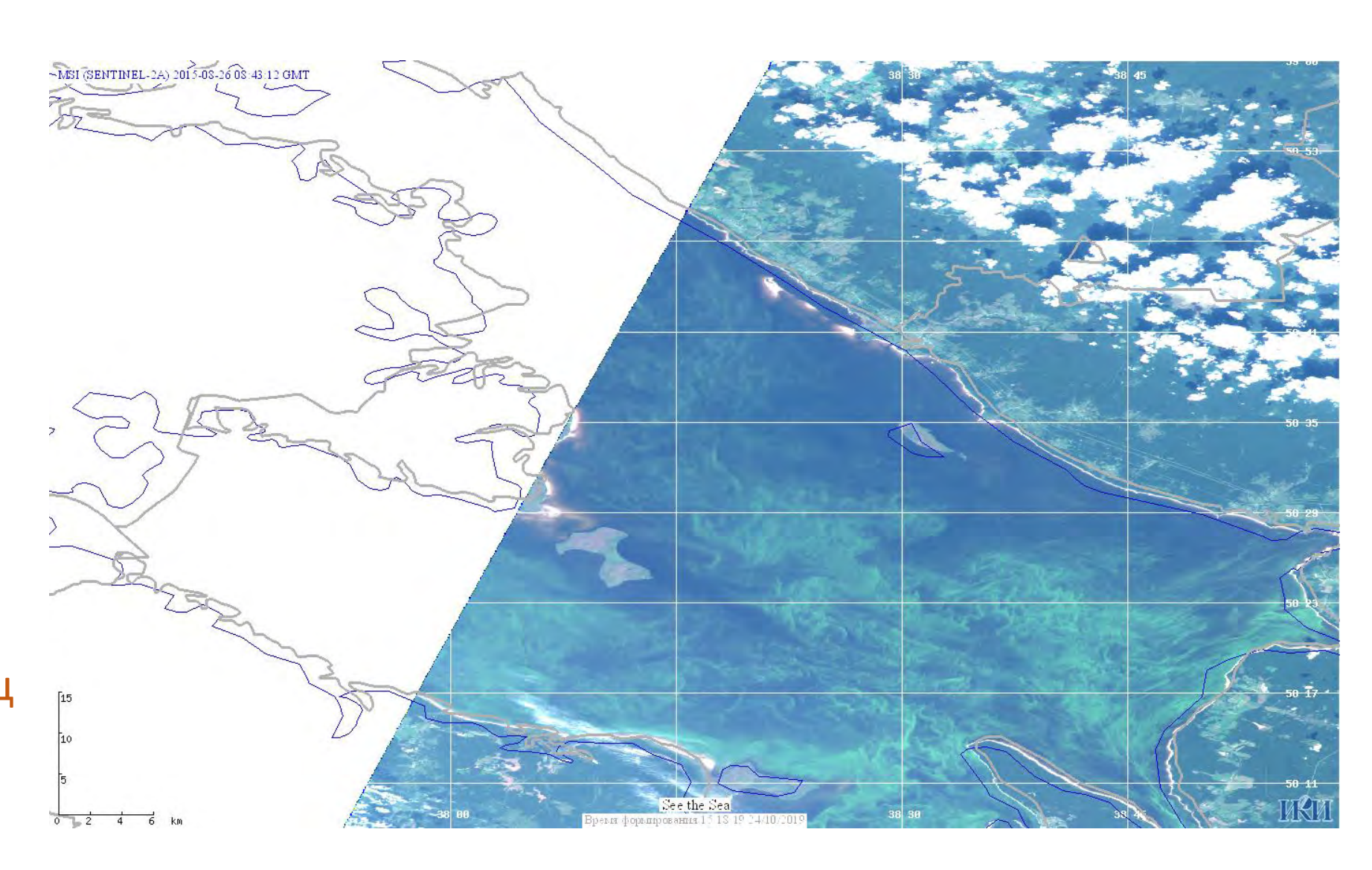
Летний «пик» цветения диатомовых водорослей - июль



Результаты: сезонная изменчивость (3)

- 26.08.2015
- MSI SENTINEL 2A
- Сине-зеленые водоросли
- Площадь: 1570.33км²
- Очень высокая интенсивность
- Главный, Волжский и Моложский плёсы

Вывод: Начало цветения цианобактерий – конец июля - август

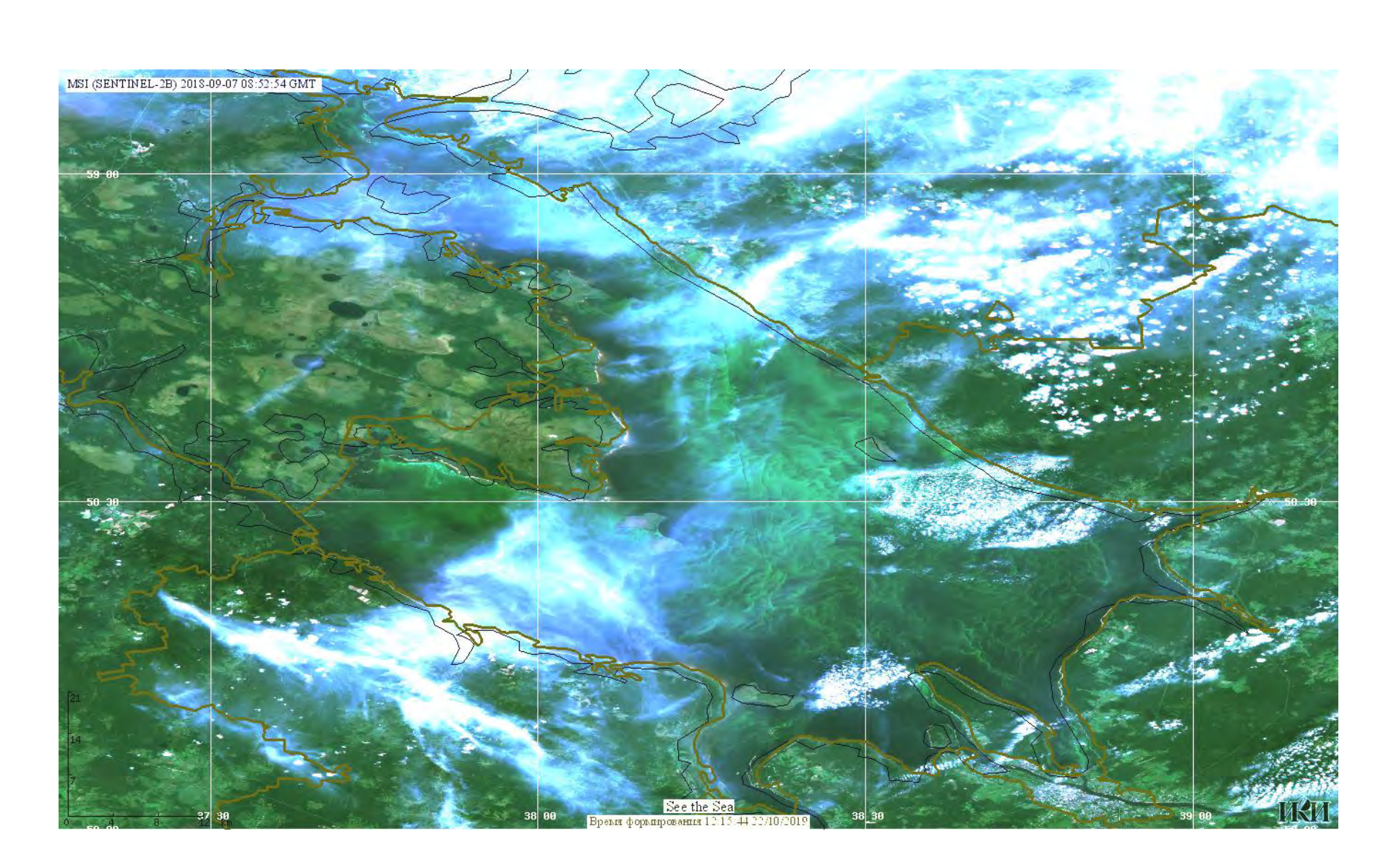


Результаты: сезонная изменчивость (4)

- 07.09.2018
- MSI SENTINEL 2
- Сине-зеленые водоросли
- Площадь: 3000 км²
- Очень высокая интенсивность
- Главный, Шекснинский и Моложский плёсы

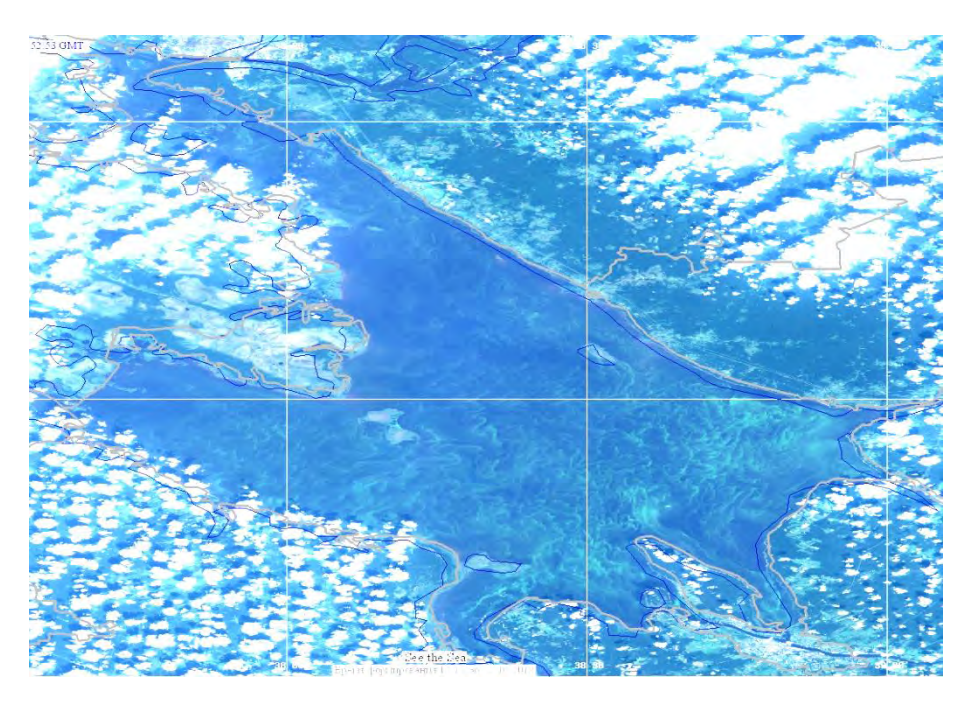
Вывод:

Осенний «пик» цианобактерий сентябрь — начало октября

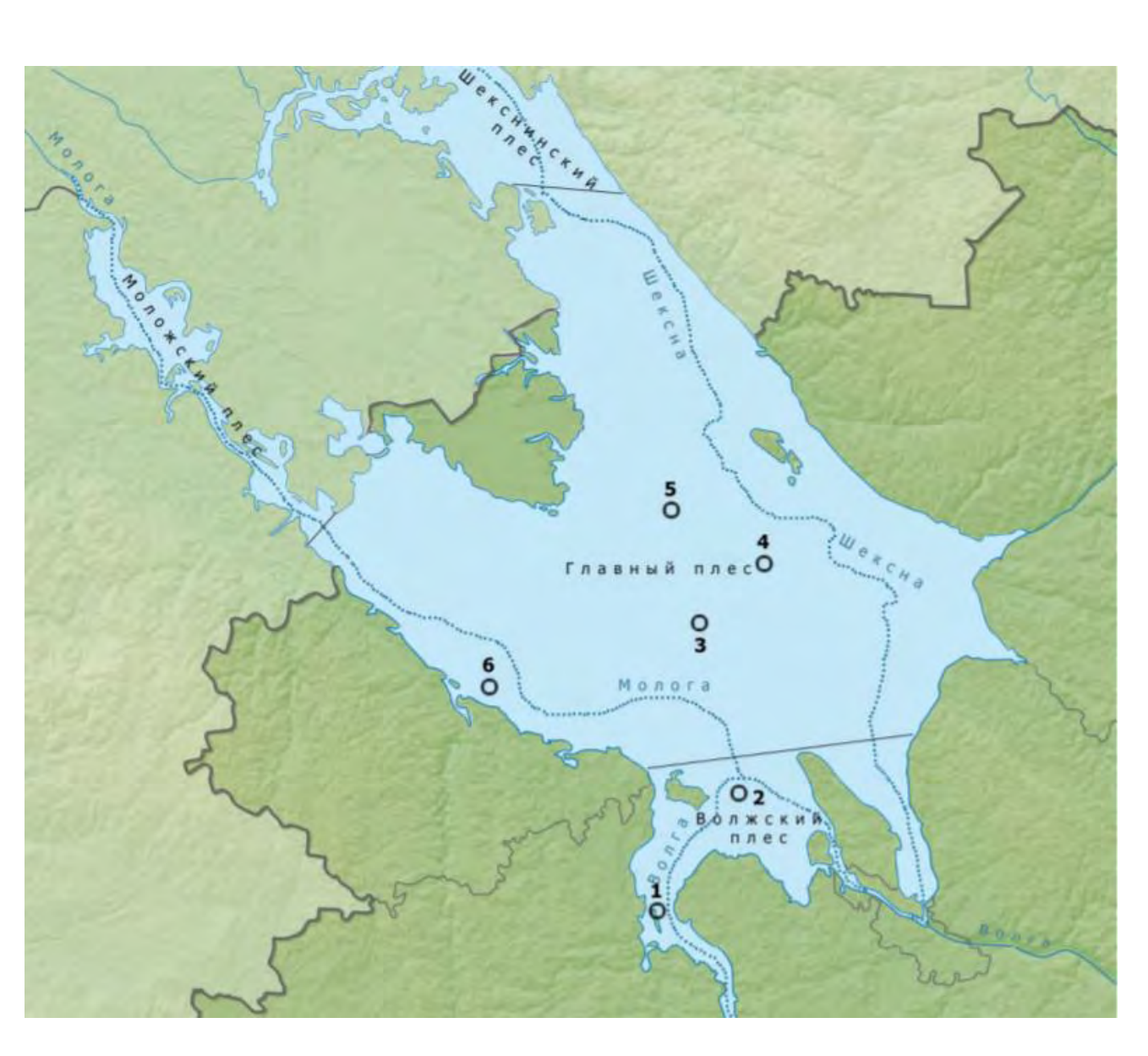


Результаты: пространственная изменчивость

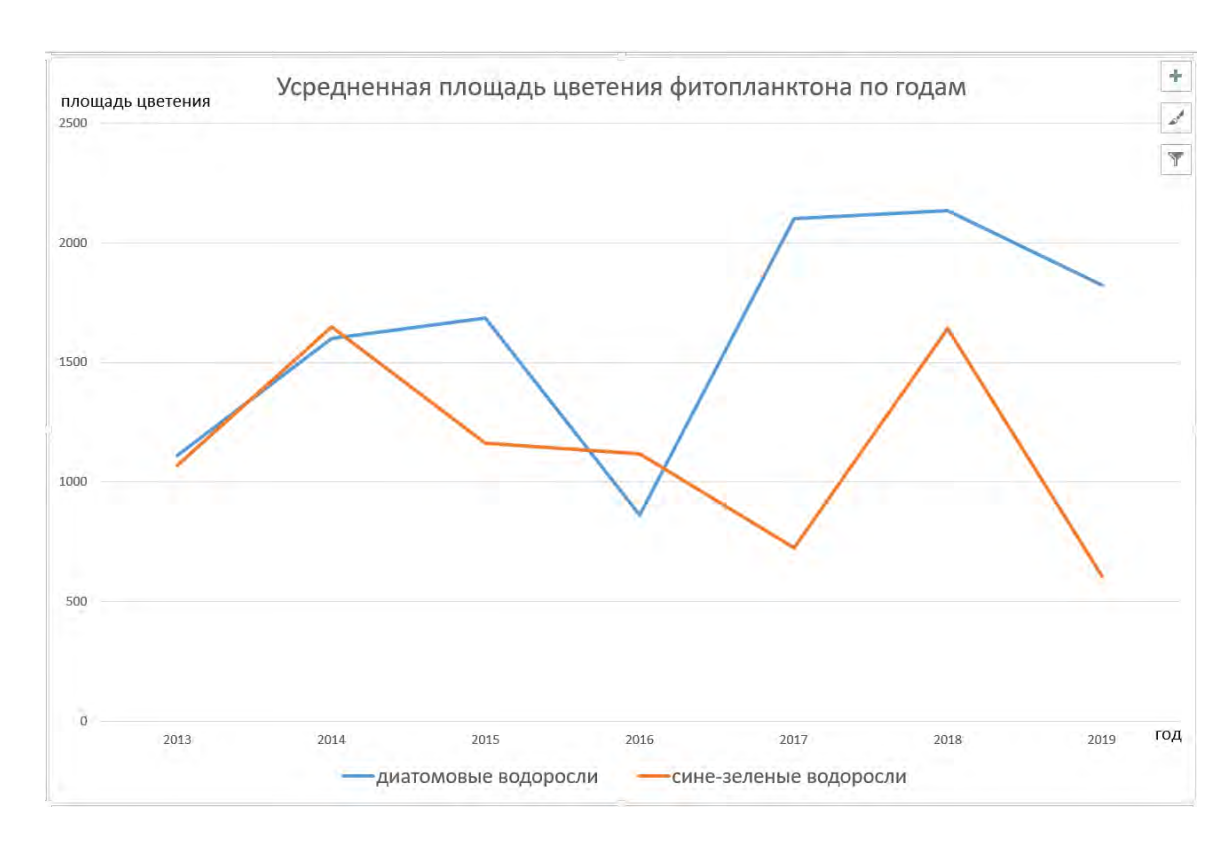
Чаще всего цветение приходилось на Главный плёс, далее на Моложский и Шекснинский (примерно поровну) и реже всего было в Волжском плёсе



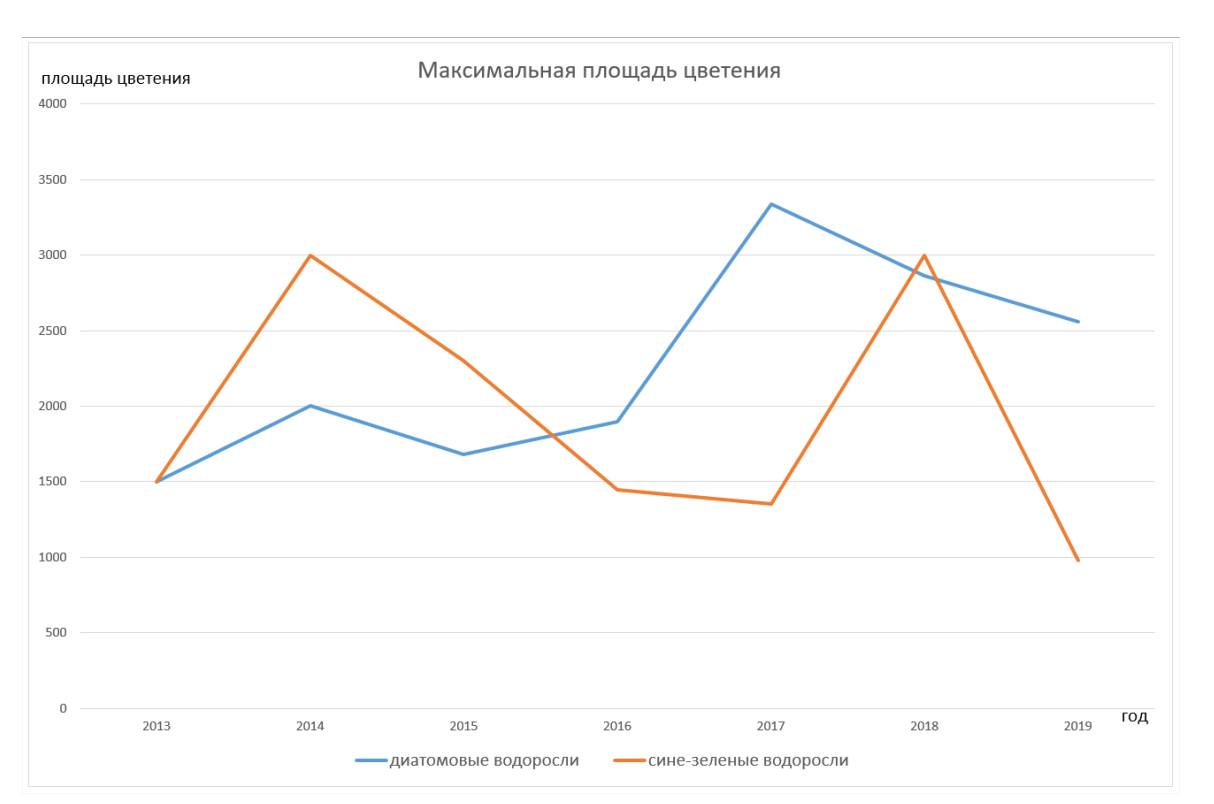
18.08.2018 MSI SENTINEL-2B



Результаты: межгодовая изменчивость

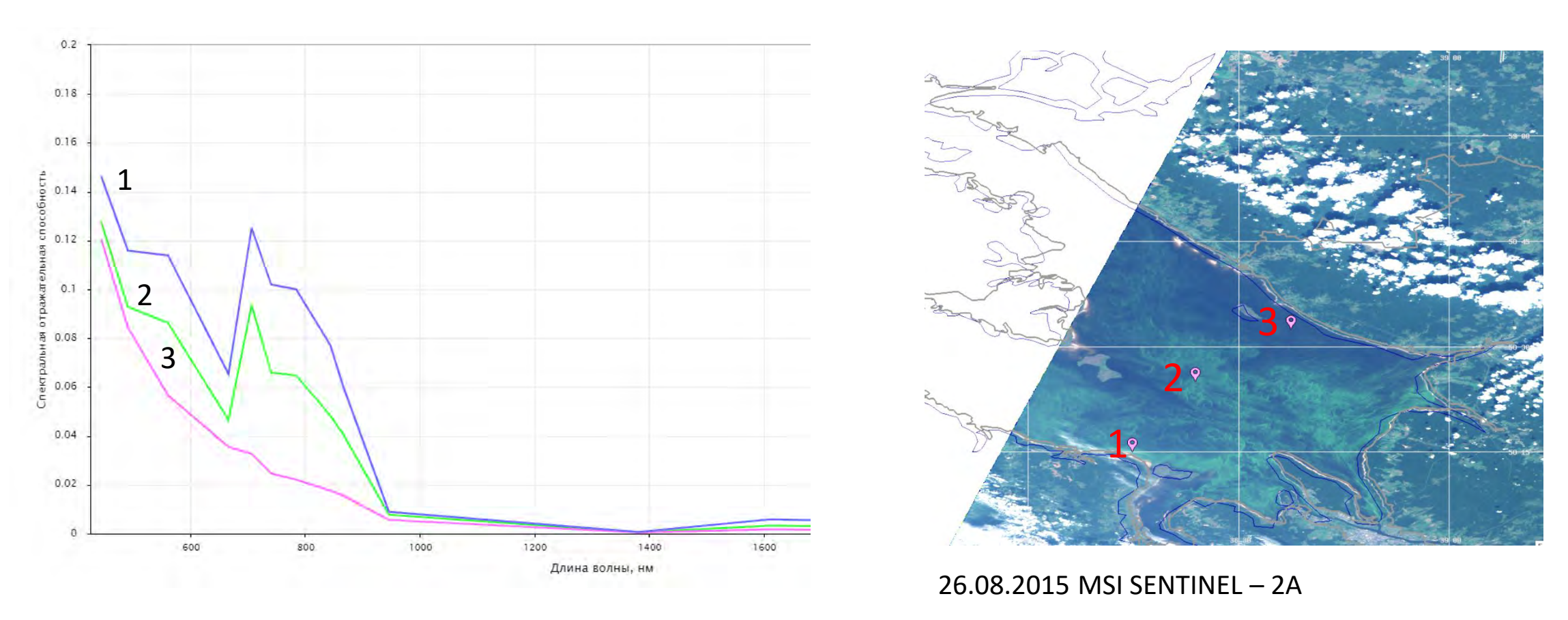


- Максимум интенсивности цветения водорослей приходится на 2014г и 2018г
- Минимум интенсивности цветения цианобактерий — 2017г, диатомовых - 2016



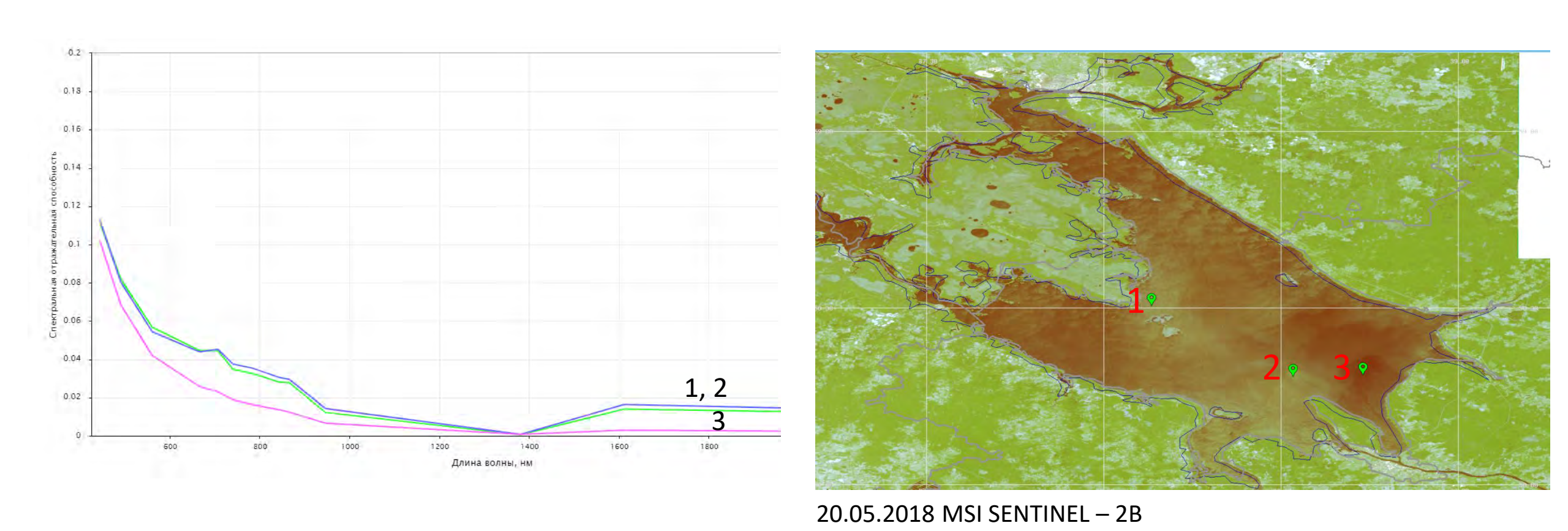
- Максимум интенсивности цветения сине-зеленых водорослей приходится на 2014г и 2018г, диатомовых – 2017
- Минимум интенсивности цветения цианобактерий 2017г, диатомовых – 2013г

Определение спектральной отражательной способности поверхности акватории Рыбинского водохранилища (1): сине-зеленые водоросли



Вывод: Сине-зеленые водоросли лучше всего проявляются на длинах волн – 740-780нм

Определение спектральной отражательной способности поверхности акватории Рыбинского водохранилища (2): диатомовые водоросли

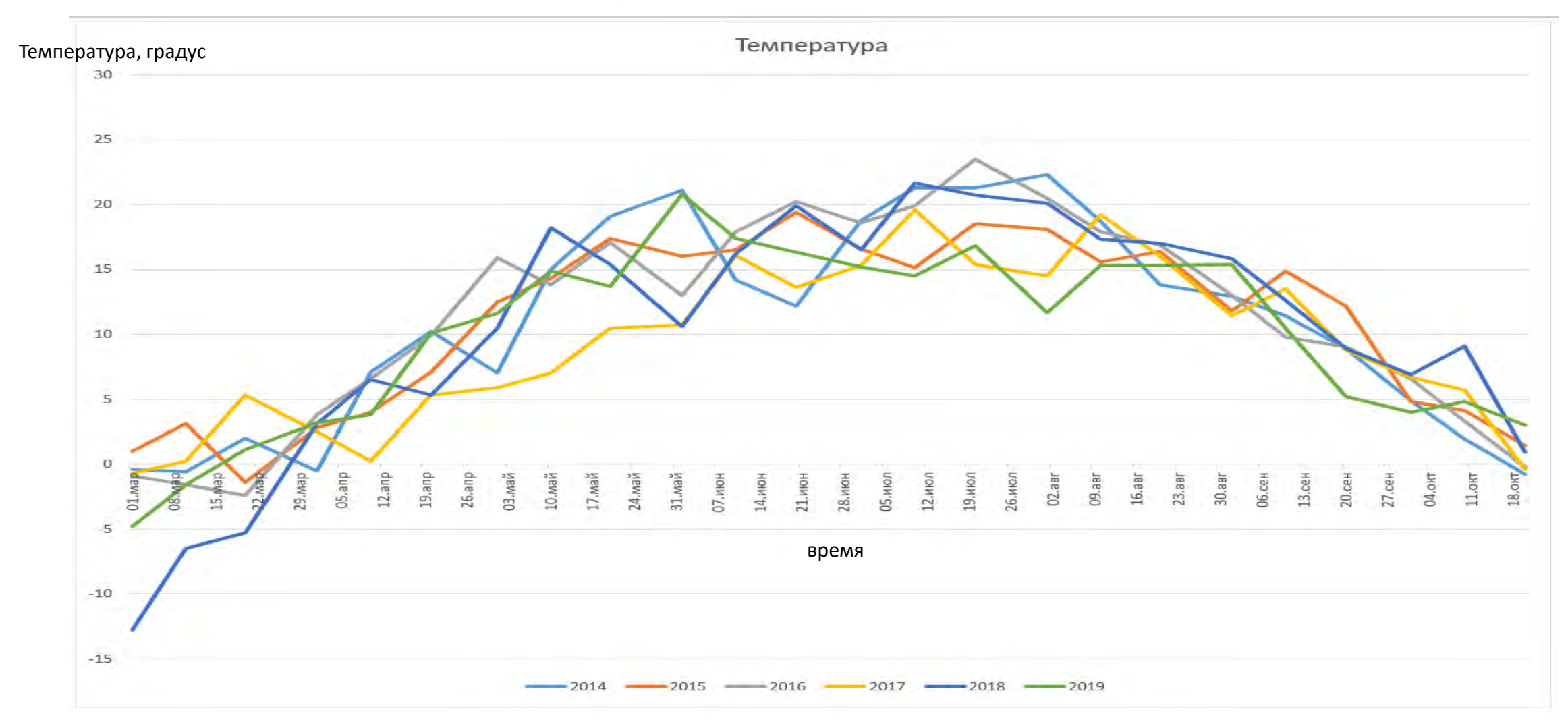


Вывод: Диатомовые водоросли лучше всего проявляются на длинах волн - 655-700 нм

Зависимость интенсивности цветения фитопланктона от:

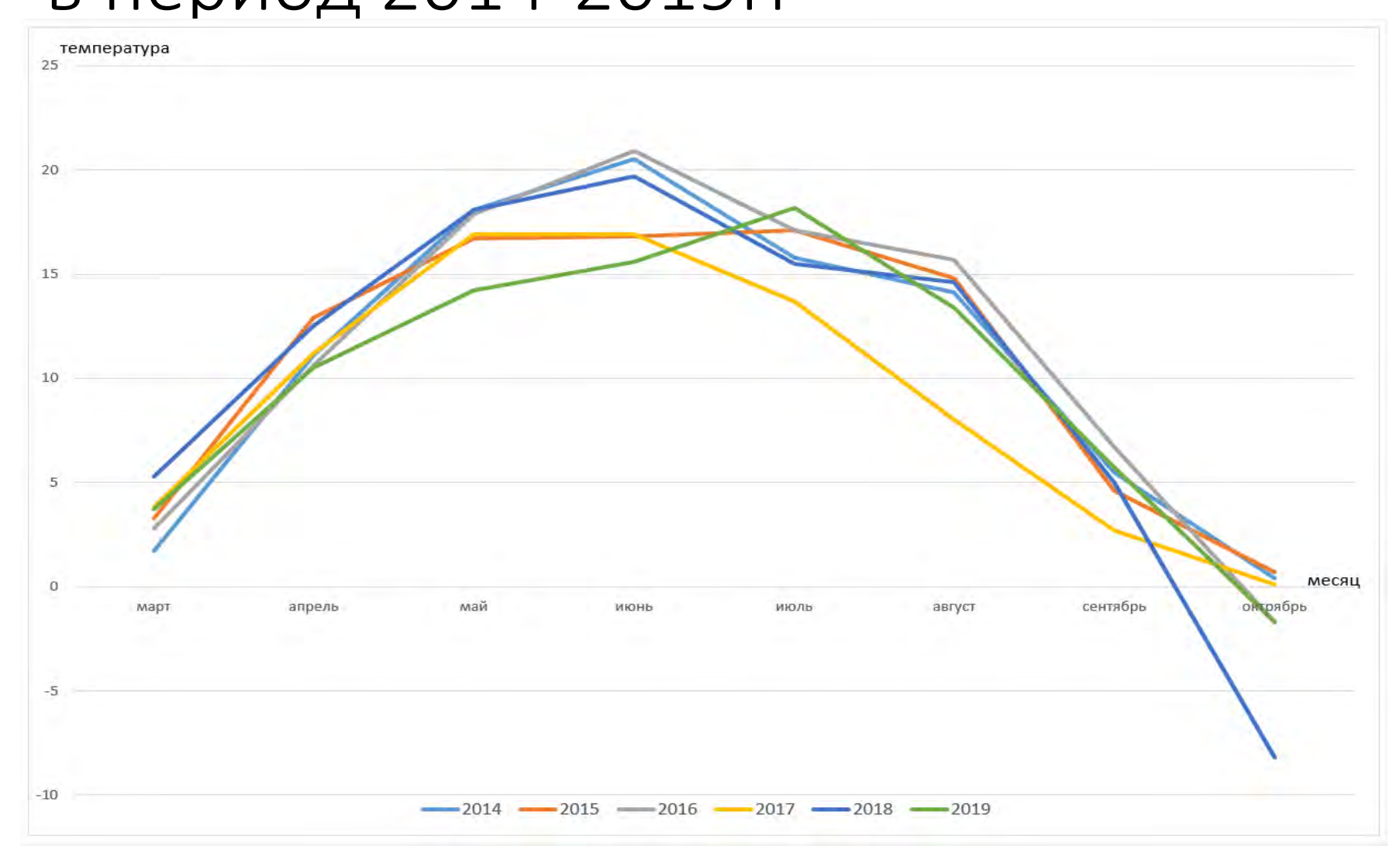
- 1. количества «питательных веществ», попадающих в водохранилище;
- 2. температуры воздуха;
- 3. освещенности (облачности);
- 4. осадков;
- 5. судоходства

Усредненная по декадам температура воздуха по данным метеостанции г. Череповец в период 2014-2019гг



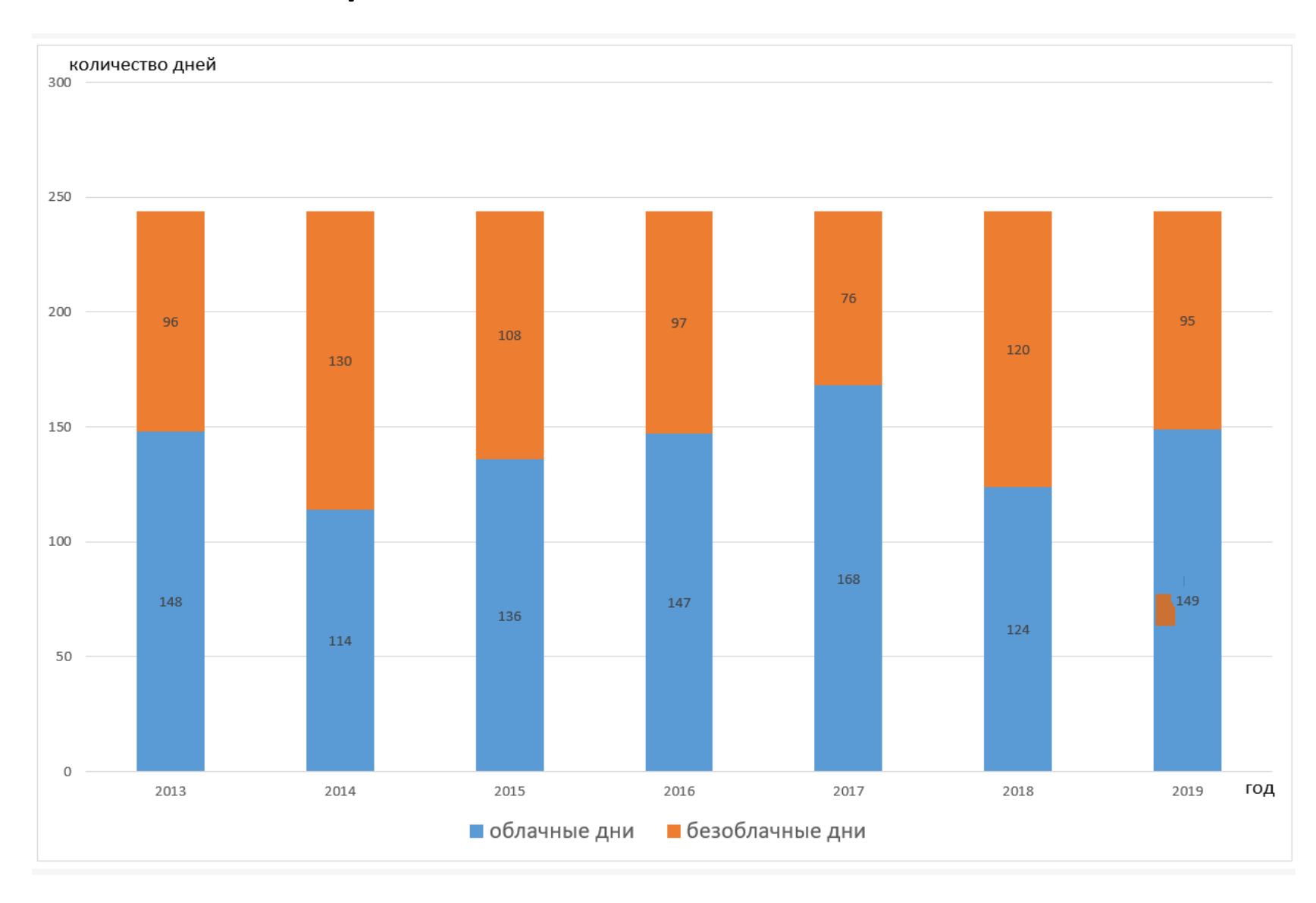
Усредненная по месяцам температура воздуха по данным метеостанции г. Череповец в период 2014-2019гг

 Самые холодные года – 2017 и 2018, где у нас были «пики» цветения диатомовых водорослей



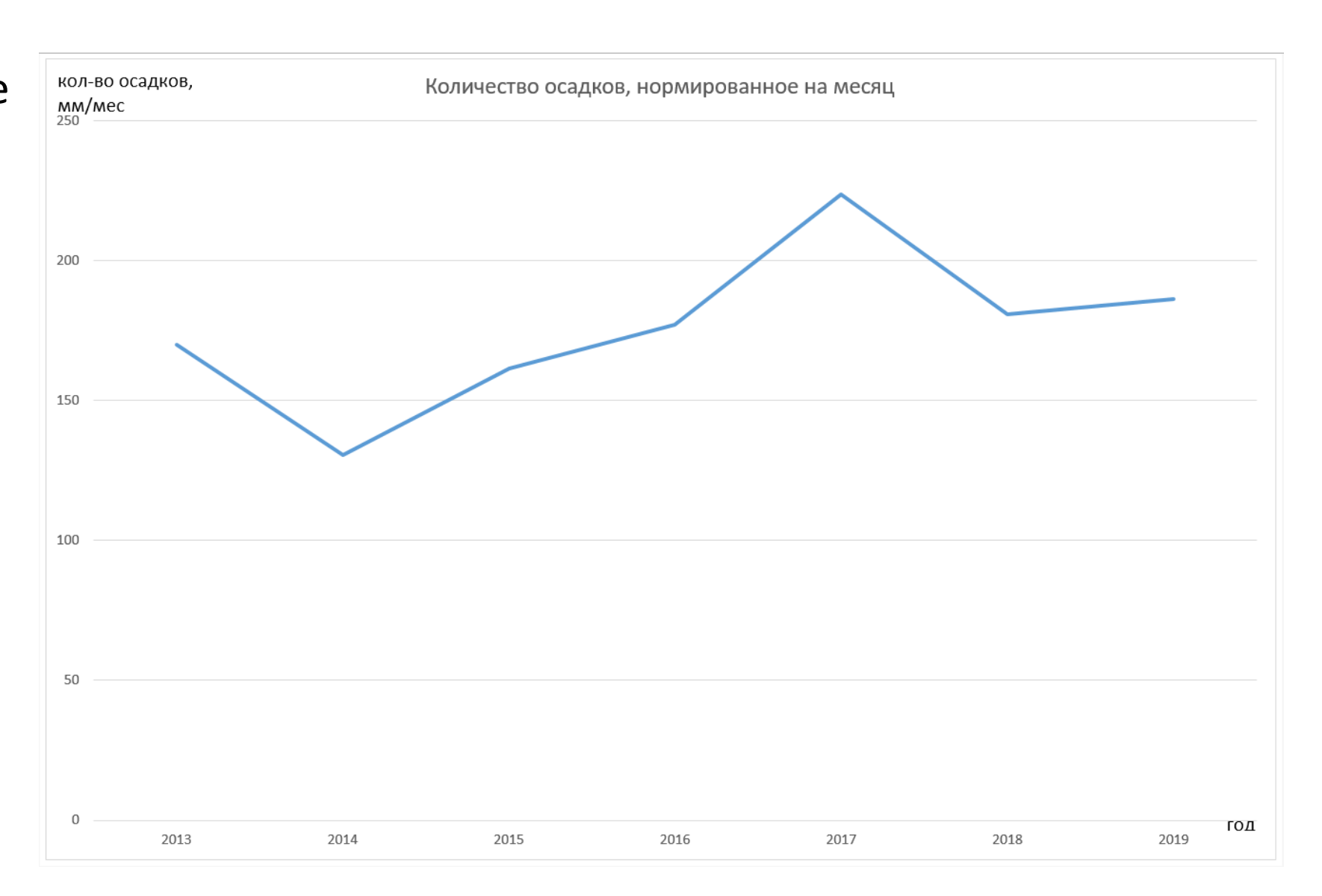
Облачность в период 2014-2019гг.

• Самые безоблачные года — 2014 и 2018, облачный — 2017, что объясняет экстремумы интенсивности цветения



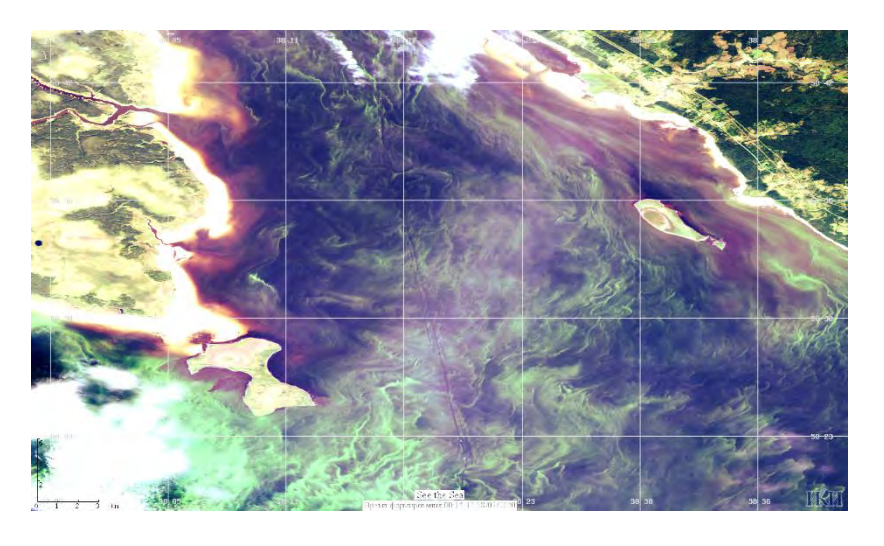
Осадки в период 2013-2019гг.

- 2017г максимальное количество осадков (минимальная интенсивность)
- 2014г минимальное количество осадков (максимальная интенсивность)

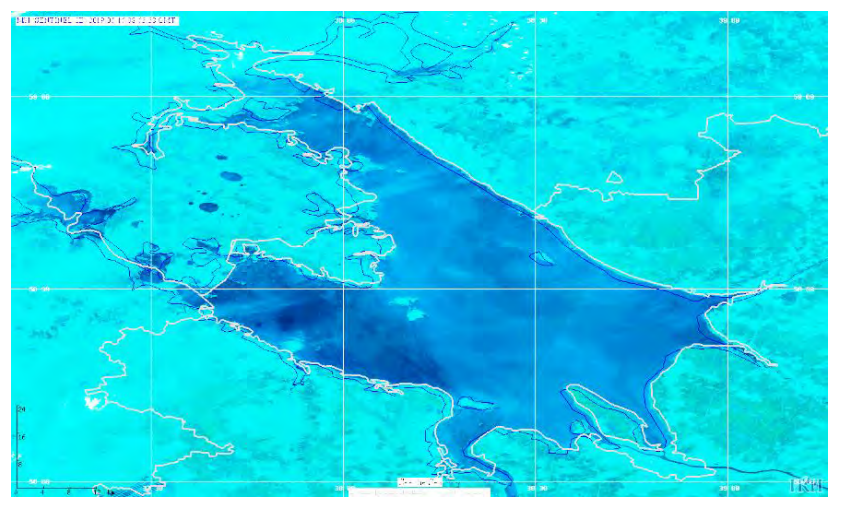


Судоходство





12.09.2014 OLI LANDSAT 8

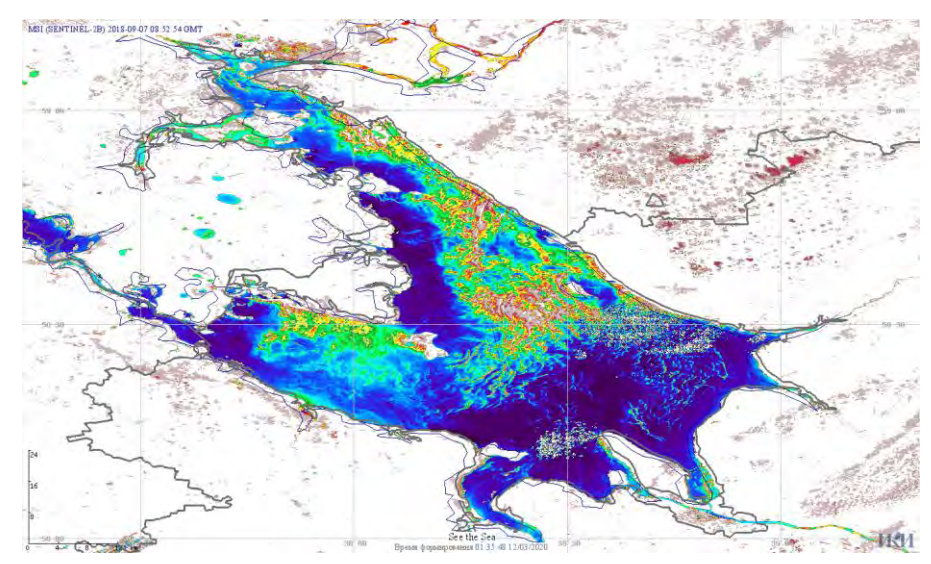


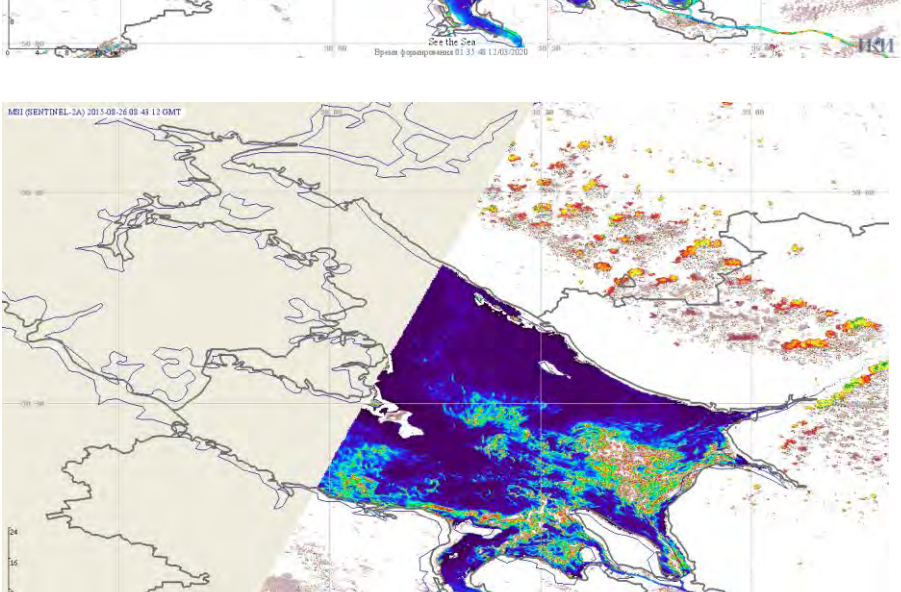
15.05.2019 MSI SENTINEL - 2B

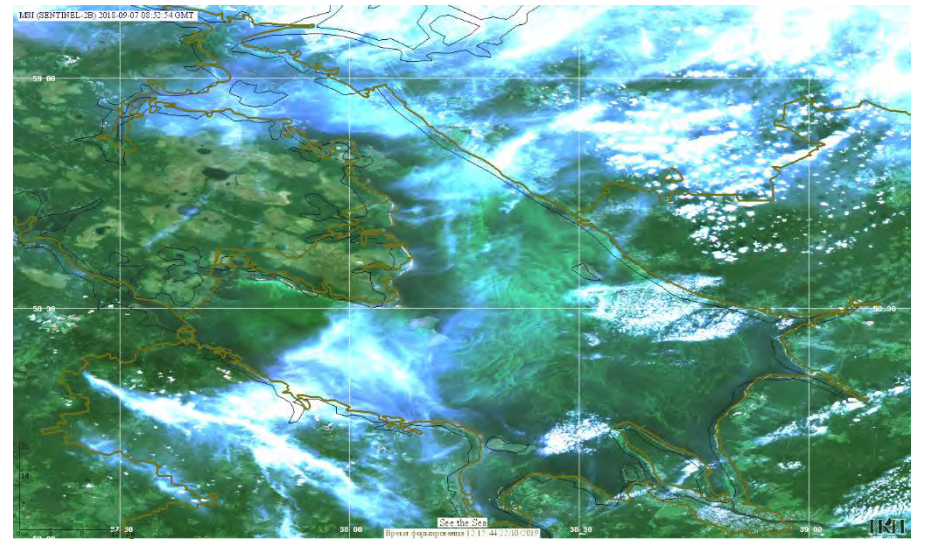
Определение FAI*

*floating algae index

FAI=(reflectanceNIR-reflectanceRED-0.22*(reflectanceSWIR-reflectanceRED)



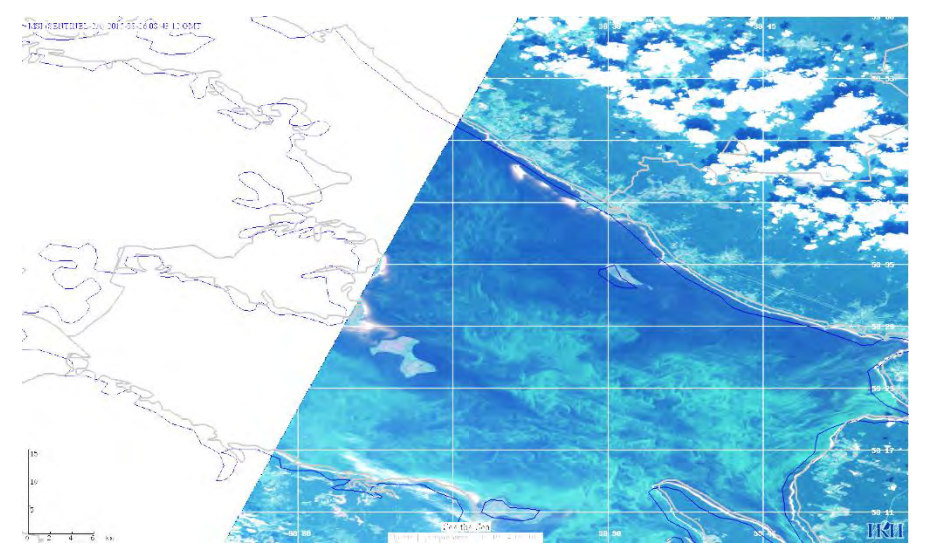




26.08.2015 MSI SENTINEL – 2A

07.09.2018

MSI SENTINEL – 2B

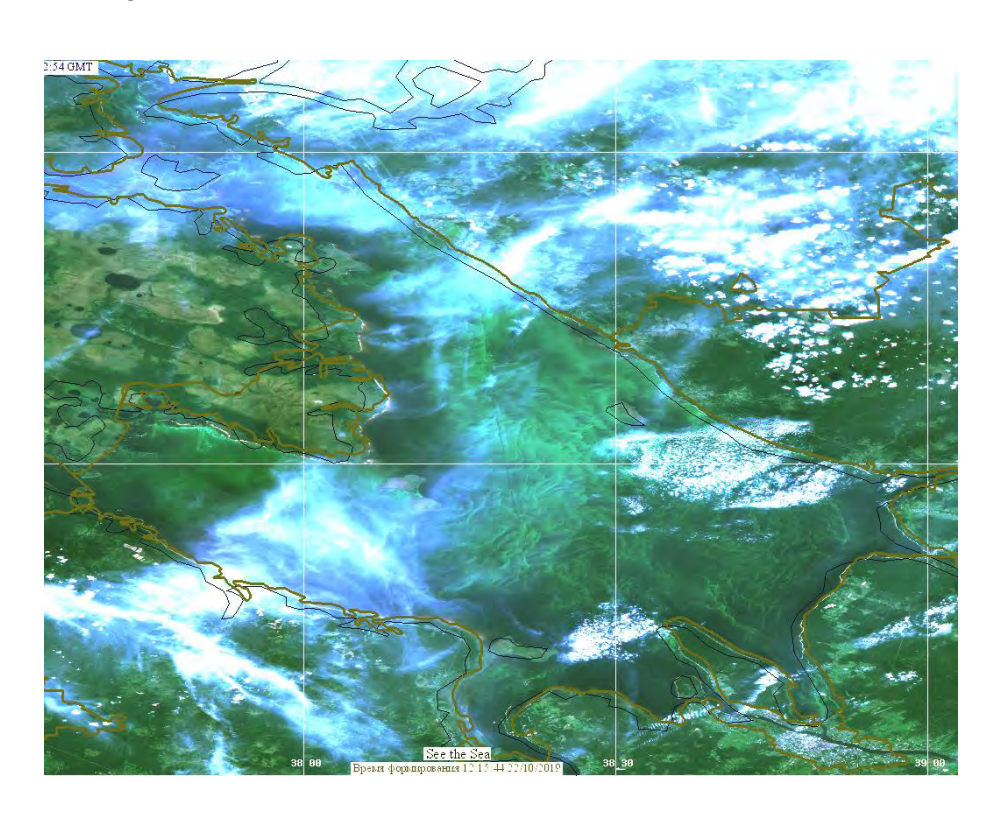


Сравнение с раннее проведенными работами (1): сине-зеленые водоросли

Раннее были проведены работы, описанные в статье «Спутниковый мониторинг интенсивного цветения водорослей в Рыбинском водохранилище» Лаврова О.Ю. и др., 2014

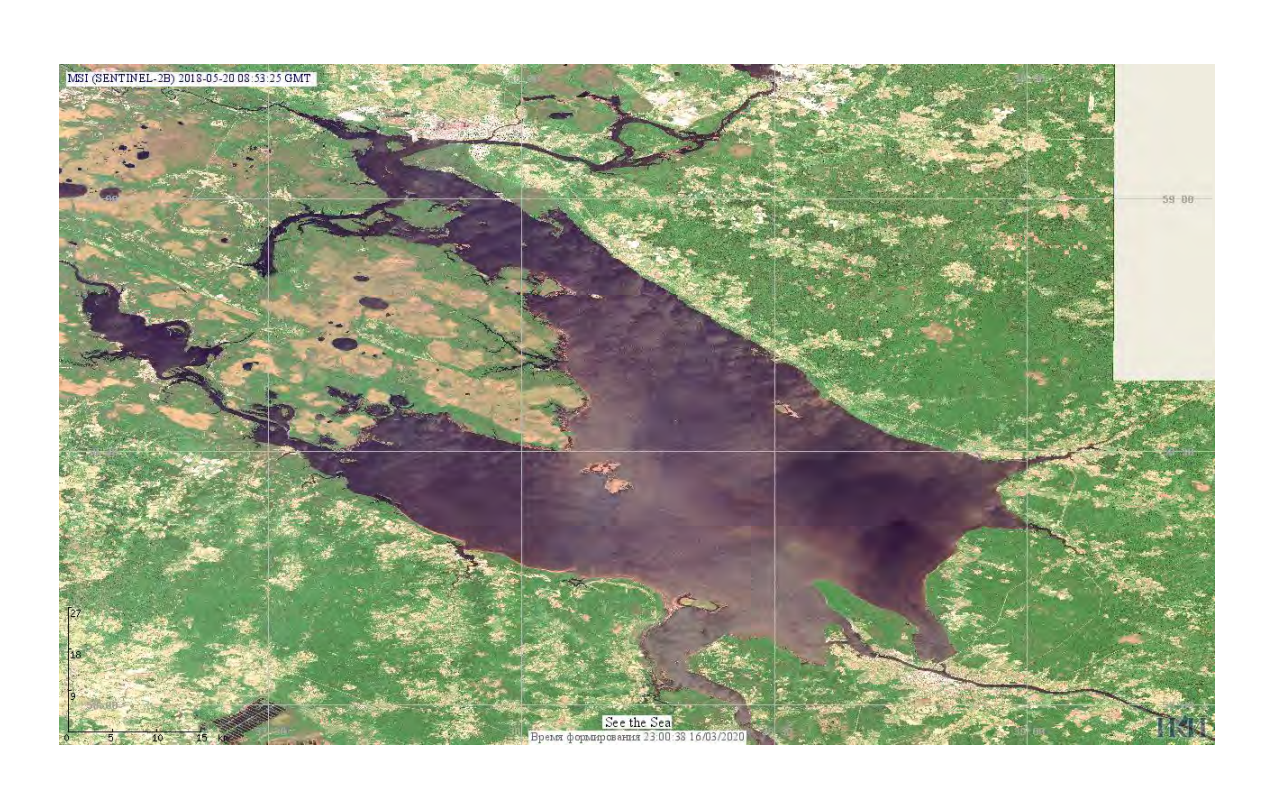


12.08.2000 Landsat-7



07.09.2018 MSI SENTINEL - 2B

Сравнение с раннее проведенными работами (2): диатомовые водоросли



See the Sea Byress populariement 11 31 10 10 30 30 50

20.05.2018 MSI SENTINEL-2B

05.06.2013 OLI LANDSAT 8

Выводы:

- 1. Были отобраны и проанализированы спутниковые изображения MSI Sentinel-2 и OLI Landsat 8 Рыбинского водохранилища за 2013-2019гг.
- 2. Проведено сравнение полученных результатов с результатами прошлых лет, которое показало, что площади, занятые цветением диатомовых водорослей, резко увеличились, а площади цветения цианобактерий не достигли максимума, выявленного в 2000г.
- 3. Установлены возможные факторы влияния, такие как: температура воздуха, осадки, освещенность и судоходство на интенсивность цветения фитопланктона в акватории.
- 4. Самое интенсивное цветение цианобактерии пришлось на 2014г, что связано с минимальным количеством осадков, высокой средней температурой воздуха и количеством безоблачных дней, а диатомовых водорослей на 2017г., где наблюдалась холодная ранняя весна.
- 5. Главный плёс район с наибольшей площадью цветения.
- 6. Области цветения цианобактерий имеют максимальную спектральную отражательную способность на 740-780нм (6 канал), а диатомовые на 655-680нм (4 канал).

Благодарности:

Подбор, обработка и анализ спутниковых изображений проводился с использованием возможностей Центра коллективного пользования «ИКИ-мониторинг», в частности с помощью информационной системы See The Sea, развиваемой и поддерживаемой в рамках темы «Мониторинг» (госрегистрация № 01.20.0.2.00164).

Спасибо за внимание!